

## 樟树 5 种化学类型叶片转录组分析

江香梅, 伍艳芳, 肖复明, 熊振宇, 徐海宁

江西省林业科学院, 国家林业局樟树工程技术研究中心, 南昌 330032

**摘要:** 樟树(*Cinnamomum camphora*)是樟科植物的一个代表种, 具有材用、药用、香料、油用和生态环境建设等多种用途。叶精油中富含利用价值极高的樟脑、芳樟醇、1,8-桉叶油素、异-橙花叔醇和右旋龙脑等萜类化合物。依据叶精油中主要成分的种类和含量, 可将樟树划分为脑樟、芳樟、油樟、异樟、龙脑樟 5 种化学类型。文章采用 Illumina HiSeq™ 2000 高通量测序技术, 对 5 种化学类型叶片转录组进行测序, 对测序得到的所有 Unigene 进行 GO(Gene Ontology)、COG(Clusters of Orthologous Groups)和 KEGG(Kyoto Encyclopedia of Genes and Genomes)分类, 给出功能注释和 Pathway 注释, 并预测 Unigene 蛋白编码区(Coding sequence, CDS)。De novo 组装共获得 156 278 个 Unigene, 序列平均长度 584 bp, N50(覆盖 50%所有核苷酸的最大 Unigene 长度)为 1 023 bp。通过与其他核酸、蛋白数据库的 Blast 搜索比对, 共有 55 955 条 Unigene 获得了基因注释, 占有 Unigene 的 35.80%。其中, 有 24 717 条 Unigene 得到 GO 注释, 有 21 806 条 Unigene 得到 COG 注释。KEGG pathways 分析结果表明, 共有 3 350 条基因(10.19%)注释到次生代谢生物合成途径, 其中参与单萜、二萜、倍半萜和萜类骨架合成的 Unigene 有 424 个。在单萜合成的代谢通路中, 有 9 条 Unigene 可能编码芳樟醇合成酶基因, 且表达分析结果显示, 芳樟醇合成酶基因在芳樟化学类型中优势表达, 在油樟化学类型中表达水平较低。这些注释信息的完成为樟树功能基因及相关候选基因的发掘提供了基础数据和重要依据。

**关键词:** 樟树; RNA-Seq; 基因注释; 功能分类; CDS 预测

## Transcriptome analysis for leaves of five chemical types in *Cinnamomum camphora*

Xiangmei Jiang, Yanfang Wu, Fuming Xiao, Zhenyu Xiong, Haining Xu

Camphor Engineering Technology Research Center for State Forestry Administration, Jiangxi Academy of Forestry, Nanchang 330032, China

**Abstract:** Camphor tree (*Cinnamomum camphora*) is a representative species in Lauraceae family, and can be subdivided into five types: linalool, camphor, cineol, iso-nerolidol and borneol. In this paper, the leaves transcriptomes of *Cinnamomum camphora* were sequenced with the platform of Illumina HiSeq™ 2000. Based on the GO (Gene Ontology), COG (Clusters of Orthologous Groups), and KEGG (Kyoto Encyclopedia of Genes and Genomes) database, the function classification, pathway annotation, and the coding sequence prediction of all-Unigenes were carried out. 156 278 Unigenes

收稿日期: 2013-04-25; 修回日期: 2013-07-23

基金项目: “赣鄱英才 555 工程”领军人才培养计划项目樟树全基因组研究和江西省自然科学基金项目(编号: 20122BAB214029)资助

作者简介: 江香梅, 博士, 研究员。研究方向: 林木遗传育种。E-mail: zjiang2013@126.com

DOI: 10.3724/SP.J.1005.2014.0058

网络出版时间: 2013-12-5 10:59:54

URL: <http://www.cnki.net/kcms/detail/11.1913.R.20131205.1059.001.html>

with an average length of 584 bp and N50 (N50 value is defined as the Unigene length where half the assembly is represented by Unigenes of this size or longer) of 1 023 bp were generated by *de novo* assembly. A total of 5 595 Unigenes (35.80%) were annotated through similarity comparison, in which 24 717 and 21 806 Unigenes were assigned into GO and COG, respectively. By searching KEGG database, 3 350 Unigenes were involved in biosynthesis of secondary metabolites, in which 424 Unigenes were involved in monoterpenoids, diterpenoids, sesquiterpenoids, and terpenoid backbone biosynthesis. The analysis of monoterpenoids biosynthesis pathway showed that 9 Unigenes likely encode (+)-linalool synthase, and their expression levels were higher in linalool type but lower in cineole type. This study provides a foundation for further characterizing the functional genes in *C. camphora*.

**Keywords:** *Cinnamomum camphora*; RNA-Seq; gene annotation; function classification; CDS prediction

樟树(*Cinnamomum camphora* (L.) Presl)是我国特有国家Ⅱ级保护树种,是集材用、药用、香料、油用、化工、观赏、生态环境和生态文化建设等于一体的多用途树种,可作为樟科的代表种,具有极重要的开发利用价值<sup>[1]</sup>。樟树的化学成分复杂多样,其根、茎、叶、花、果中均富含精油,从其精油中已鉴定出 150 余种化合物,且新化合物还在不断被鉴定出来。我国是世界上生产樟油最多的国家,其产量占世界的 80%,产品质量享誉全球。樟树按叶精油主要化学成分种类及含量的不同,可分为芳樟(精油中主成分为芳樟醇,下同)、脑樟(樟脑)、油樟(1,8-桉叶油素)、异樟(异-橙花叔醇)和龙脑樟(右旋龙脑)5 种主要化学类型<sup>[2]</sup>。迄今为止,对樟树精油化学成分分析与利用的研究较多<sup>[3-5]</sup>,而对化学成分代谢途径的研究则较少<sup>[6,7]</sup>。目前,以樟树为代表的樟科植物尚未完成全基因组测序,EST文库尚未建立,GenBank上樟树EST序列也较少,相关基因的功能注释亦不完善,给樟树萜类化合物次生代谢途径的研究带来极大困难,亟需更多的基因组或转录组信息来解决这一问题。

新一代测序技术(Next-generation sequencing technologies, NGSTs)对分子生物学的发展起到了巨大的推动作用。其中用于转录组测序和数字基因表达谱(Digital gene expression profiling, DGE)研究的RNA-seq技术不仅能够广泛应用于有参考基因组序列的物种研究,如水稻(*Oryza sativa*)<sup>[8]</sup>、葡萄(*Vitis vinifera*)<sup>[9]</sup>、黄瓜(*Cucumis sativus*)<sup>[10]</sup>等,也能应用于无参考基因组序列的物种,如青蒿(*Artemisia annua*)<sup>[11]</sup>、人参(*Panax ginseng*)<sup>[12]</sup>、红豆杉(*Taxus mairei*)<sup>[13]</sup>、罗汉果(*Siraitia grosvenorii*)<sup>[14]</sup>等,应用较为广泛<sup>[15]</sup>。基

于转录组测序得到的基因功能注释、蛋白编码区注释等大量的信息,可以从基因的表达水平<sup>[9,13]</sup>、SNP鉴定<sup>[11,16]</sup>、SSR分子标记筛选<sup>[17,18]</sup>、候选基因的挖掘<sup>[19,20]</sup>、融合转录本的表达<sup>[8,21]</sup>、可变剪接<sup>[8,22]</sup>等方面展开相关研究,并建立相关转录组数据库<sup>[17]</sup>,为进一步研究提供重要基础。本研究采用Illumina HiSeq™ 2000 新一代高通量测序技术对樟树 5 种化学类型叶片转录组进行测序,对测序得到的大量Unigene进行GO、COG和KEGG分类统计,给出功能注释和Pathway注释,并预测Unigene蛋白CDS。这些注释信息的完成将为樟树精油主要成分合成、功能基因及相关候选基因的发掘提供基础数据,同时也为进一步克隆功能基因全长、研究基因功能奠定了基础,对推动我国樟科植物分子生物学研究将起到极大促进作用。

## 1 材料和方法

### 1.1 材料

试验材料采自江西省林业科学院内年龄约 30 年的樟树成年植株。于 4 月底统一采集脑樟、芳樟、油樟、异樟、龙脑樟 5 种化学类型幼嫩叶片,液氮速冻后-70℃低温保存,用于提取 RNA,测序。

### 1.2 方法

#### 1.2.1 RNA 提取、纯化和文库构建

采用通用植物总 RNA 提取试剂盒 RNeasy Plant Mini Kit 提取樟树 5 种化学类型叶片总 RNA,琼脂糖凝胶电泳检测 RNA 完整性,Agilent 2100 Bioanalyzer 检测总 RNA 浓度。用 Oligotex® mRNA

kit(TaKaRa)分离纯化 mRNA。得到的 mRNA 采用 fragmentation buffer 打断成小片段, 经过 PCR 扩增, 建立小片段测序文库。文库测序采用 Illumina Hi-Seq™ 2000 完成。

### 1.2.2 序列拼接

测序后得到的Raw reads, 去除含有带接头的、重复的( $N > 5\%$ )、测序质量很低的reads(质量值 $Q \leq 10$ 的碱基数占整个reads的 20%以上), 获得Clean reads。采用短reads组装软件Trinity<sup>[23]</sup>做转录组从头组装。先将具有一定长度overlap的reads连成更长的片段, 得到Contig组装片段, 再将reads比对回Contig, 通过paired-end reads来确定来自同一转录本的不同Contig以及这些Contig之间的距离, 将这些Contig连在一起, 得到两端不能再延长的序列, 即为Unigene。

### 1.2.3 功能注释和 CDS 预测

功能注释信息给出Unigene的蛋白功能注释、COG功能注释。先通过BlastX将Unigene序列比对到蛋白数据库Nr(NCBI非冗余蛋白库)、SwissProt(去冗余的蛋白数据库)、KEGG(系统分析基因产物在细胞中的代谢途径以及这些基因产物功能的数据库)和COG(对基因产物进行直系同源分类的数据库)( $E$ 值 $< 1e-5$ ), 再通过BlastN将Unigene比对到核酸数据库Nt(NCBI非冗余核酸数据库)( $E$ 值 $< 1e-5$ ), 得到跟给定Unigene具有最高序列相似性的蛋白, 从而得到该Unigene的蛋白功能注释信息。采用Blast2GO软件<sup>[24]</sup>, 根据Nr注释信息得到GO注释信息; 采用WEGO软件<sup>[25]</sup>对

All-Unigene(按分子功能、细胞组分、生物学过程)进行GO功能分类统计, 从宏观上认识樟树的基因功能分布特征。具体测序数据分析参照林萍等<sup>[26]</sup>的转录组注释分类方法。将Unigene序列按Nr、SwissProt、KEGG和COG的优先级顺序做BlastX比对( $E$ 值 $< 1e-5$ )。取比对结果中rank最高的蛋白确定该Unigene的编码区序列, 根据标准密码子表将编码区序列翻译成氨基酸序列, 从而得到该Unigene编码区的核酸序列(序列方向 5'→3')和氨基酸序列。与 4 个数据库皆比对不上的Unigene用ESTscan<sup>[27]</sup>软件预测其编码区, 得到其编码区的核酸序列(序列方向 5'→3')和氨基酸序列。

## 2 结果与分析

### 2.1 樟树 5 种化学类型叶片转录组测序产量

樟树 5 种化学类型叶片转录组测序后得到的Raw reads 及去除杂质之后的 Clean reads 结果列于表 1。由表 1 可以看出, 质量参数 Q20 最低为 95.08% (异樟), 最高达到 98.51% (脑樟); 过滤后不确定的碱基比例  $N$  值 $\leq 0.01\%$ ; 5 种化学类型的 GC 含量在 46.55%~49.29% 之间。

### 2.2 樟树 5 种化学类型叶片转录组组装质量

#### 2.2.1 数据统计

采用短 reads 组装软件 Trinity 从头组装的樟树 5 种化学类型序列重叠群 Contig 和 Unigene 数目列于表 2。由表 2 可知, 经过拼接最终获得长度在 100~2 000 bp 之间的 Unigene 156 278 个, 总长 87.09 Mb, 序列平均长度 584 bp, N50 为 1 023 bp。

表 1 测序产量统计表

样品名称	Raw reads 总数量	Clean reads 总数量	Clean reads 总碱基数(nt)	Q20(%)	N 值(%)	GC 含量(%)
异樟	47 791 542	39 729 316	3 575 638 440	95.08	0.01	46.55
油樟	46 979 650	41 900 068	3 771 006 120	96.45	0.00	47.53
芳樟	52 556 638	46 884 796	4 219 631 640	96.42	0.00	47.54
脑樟	50 859 980	48 098 770	4 328 889 300	98.51	0.00	49.29
龙脑樟	51 551 302	45 372 178	4 083 496 020	96.21	0.00	48.48

注: Clean reads 总碱基数= Clean reads 总数量 1×Read1 大小+ Clean Reads 总数量 2×Read2 大小+.....。

Q20: 过滤后质量不低于 20 的碱基的比例; N: 过滤后不确定的碱基的比例; GC 含量: 过滤后碱基 G 和 C 的数量占总碱基数的比例。

表 2 组装质量统计表

	样品名称	总数	总长(nt)	平均长度(nt)	N50	表达序列总数	多拷贝基因数量	单拷贝基因数量
Contig	异樟	318 108	78 908 266	248	277	—	—	—
	油樟	128 666	39 578 091	308	498	—	—	—
	芳樟	155 178	50 761 286	327	552	—	—	—
	脑樟	110 613	35 896 525	325	556	—	—	—
	龙脑樟	107 009	39 057 605	365	699	—	—	—
Unigene	异樟	171 126	67 834 835	396	459	171 126	20 849	150 277
	油樟	65 138	35 982 052	552	903	65 138	7 495	57 643
	芳樟	84 012	49 561 427	590	1030	84 012	10 067	73 945
	脑樟	59 263	33 272 420	561	916	59 263	5 931	53 332
	龙脑樟	59 197	37 793 933	638	1090	59 197	7 150	52 047
总计		156 278	91 322 943	584	1023	156 278	57 064	99 214

注: Contig 对应的 N50 即覆盖 50%所有核苷酸的最大序列重叠群长度; Unigene 对应的 N50 即覆盖 50%所有核苷酸的最大 Unigene 长度; 平均长度(nt)表示所有核苷酸序列的平均长度。

2.2.2 Contig 和 Unigene 的长度分布

Contig 和 Unigene 的长度分布分别见图 1 和图 2。樟树 All-Unigene 长度在 100~500 bp 的有 114 115 个, 占 73.02%; 500 ~ 1 000 的有 18 316 个, 占 11.72%; 1 000 ~ 1 500 的有 9 144 个, 占 5.85%; 1 500 ~ 2 000 的有 6 365 个, 占 4.07%; ≥2 000 的有 8 338 个, 占 5.34%。

2.3 Unigene 的功能注释

2.3.1 注释结果统计

分别将 Unigene 注释到 Nr、Nt、SwissProt、KEGG、COG、GO 库, 并分别对注释到每个库以及所有注释上的 Unigene 数目进行统计, 结果见表 3。通过 Blast 搜索比对, 共有 55 955 条 Unigene 获得了基因注释, 占 All-Unigene 的 35.80%; 有 100 323 条 Unigene(64.20%)未被注释。Nr 数据库比对注释的信息最多, 注释了 55 257 条 Unigene, COG 注释的信息最少, 仅 21 806 条 Unigene 得到了注释。

2.3.2 Unigene 的 COG 分类

为了进一步评价转录组文库的完整性和注释的有效性, 对 Unigene 进行了 COG 分类(图 3)。在 COG 25 个类别中, “一般功能基因”为最大 5 的组(7 466, 34.24%), 其次是“转录”(4 955, 22.72%)和“复制、重组和修复”(3 803, 17.44%)。3 个最小的组别分别为“核苷酸结构”(2, 0.01%)、“细胞外结构”(11, 0.05%)

和“RNA 加工与修饰”(358, 1.64%)。此外, 参与次生代谢生物合成、运输和分解的有 1 296 个 Unigene, 占 5.94%。

2.4 Unigene 的 GO 分类

在已经得到的 Nr 注释信息基础上, 采用 Blast2GO 获得樟树 Unigene 的 GO 分类信息, 共有 24 717 条 Unigene 得到 GO 注释。在 GO 分类体系中, 生物学过程、细胞组分和分子功能 3 个大的类别被划分为详细的 44 个小的类别, 其中“细胞”(16 006, 14.52%)、“细胞要素”(14 515, 13.17%)和“细胞器”(11 547, 10.48%)3 个类群占了主要部分, 随后是“催化活性”(11 074, 10.05%)、“结合活性”(10 642, 9.65%)和“代谢过程”(9 930, 9.01%)3 个类群, 而“细胞杀伤”(1, 0.001%)、“律动过程”(2, 0.002%)和“氮素利用”(3, 0.003%)仅有非常少的基因归入, 这一分类结果显示了樟树叶基因表达谱的总体情况(图 4)。

2.5 KEGG pathways 分析

利用KEGG数据库进行了功能分类和Pathway注释<sup>[28]</sup>。首先, 将 156 278 条All-Unigene采用BlastX比对到KEGG数据库, 结果有 48 875 条序列能够比对上( $E$ 值 $<1e-5$ ), 共有 32 885 条Unigene能够注释到 217 个KEGG标准Pathway, 另外 123 393 条序列则没有相应的生物学 Pathway 注释 (Condition: expect $\leq 1e-5$ ; rank $\leq 5$ ), 选取注释基因比例大于 1%(占有注释基因)的Pathway列于表 4。由表 4 可知, 注

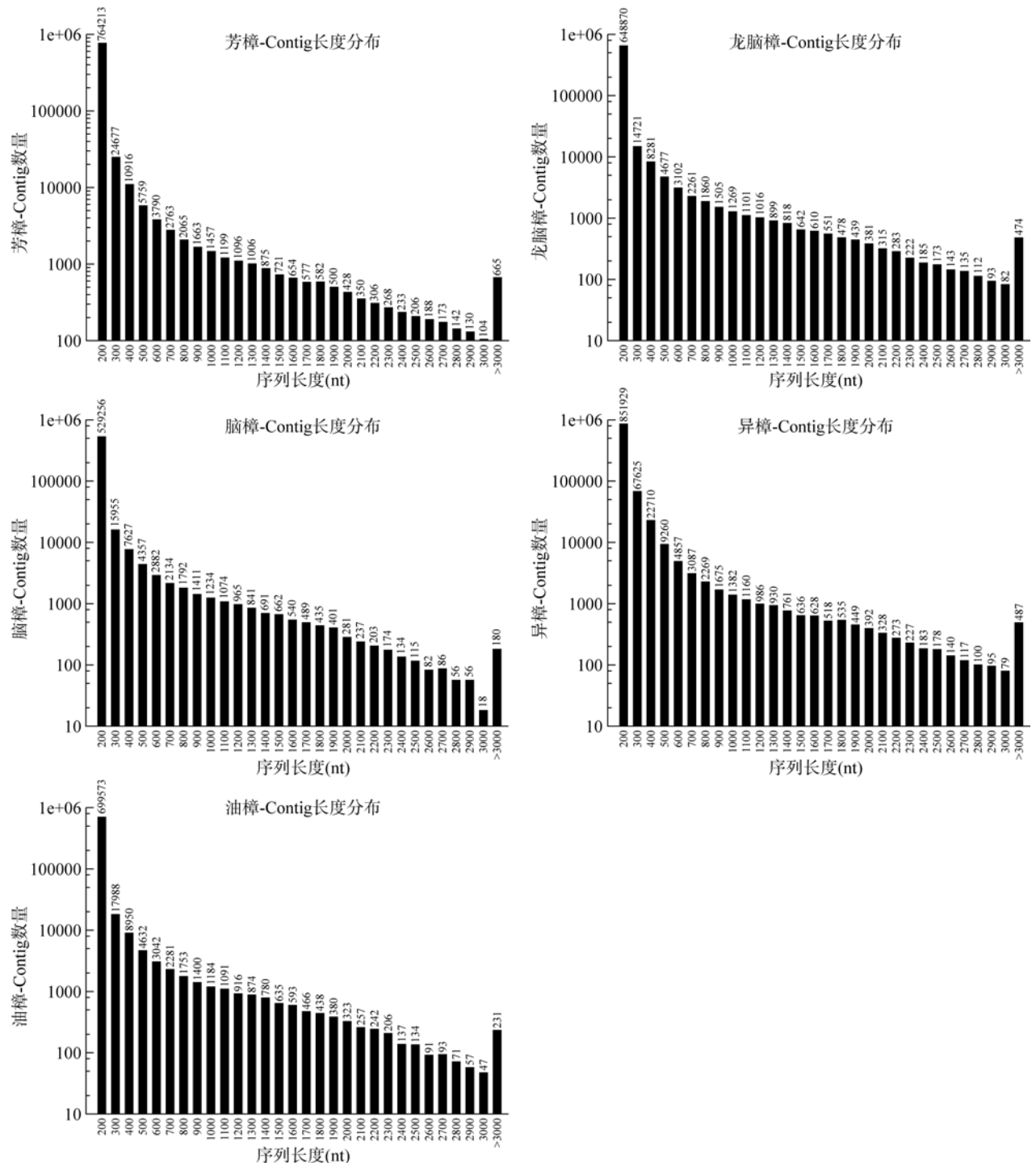


图 1 Contig 的长度分布统计图

横坐标是组装出来的 Contig 的长度, 纵坐标是对应长度的 Contig 数目。

释到“代谢途径”中的 Unigene 最多, 有 7 808 条, 占 23.74%; 有 3 350 条基因(10.19%)注释到次生代谢生物合成途径, 其中, 参与单萜[PATH: ko00902](66, 0.2%)、二萜[PATH: ko00904](113, 0.34%)、倍半萜

[PATH: ko00909](34, 0.1%)和萜类骨架合成[PATH: ko00900](211, 0.24%)的 Unigene 共 424 个。参与不饱和脂肪酸生物合成的 Unigene 有 191 条, 占 0.58%。这些有代表性的注释为研究樟树特殊生物学



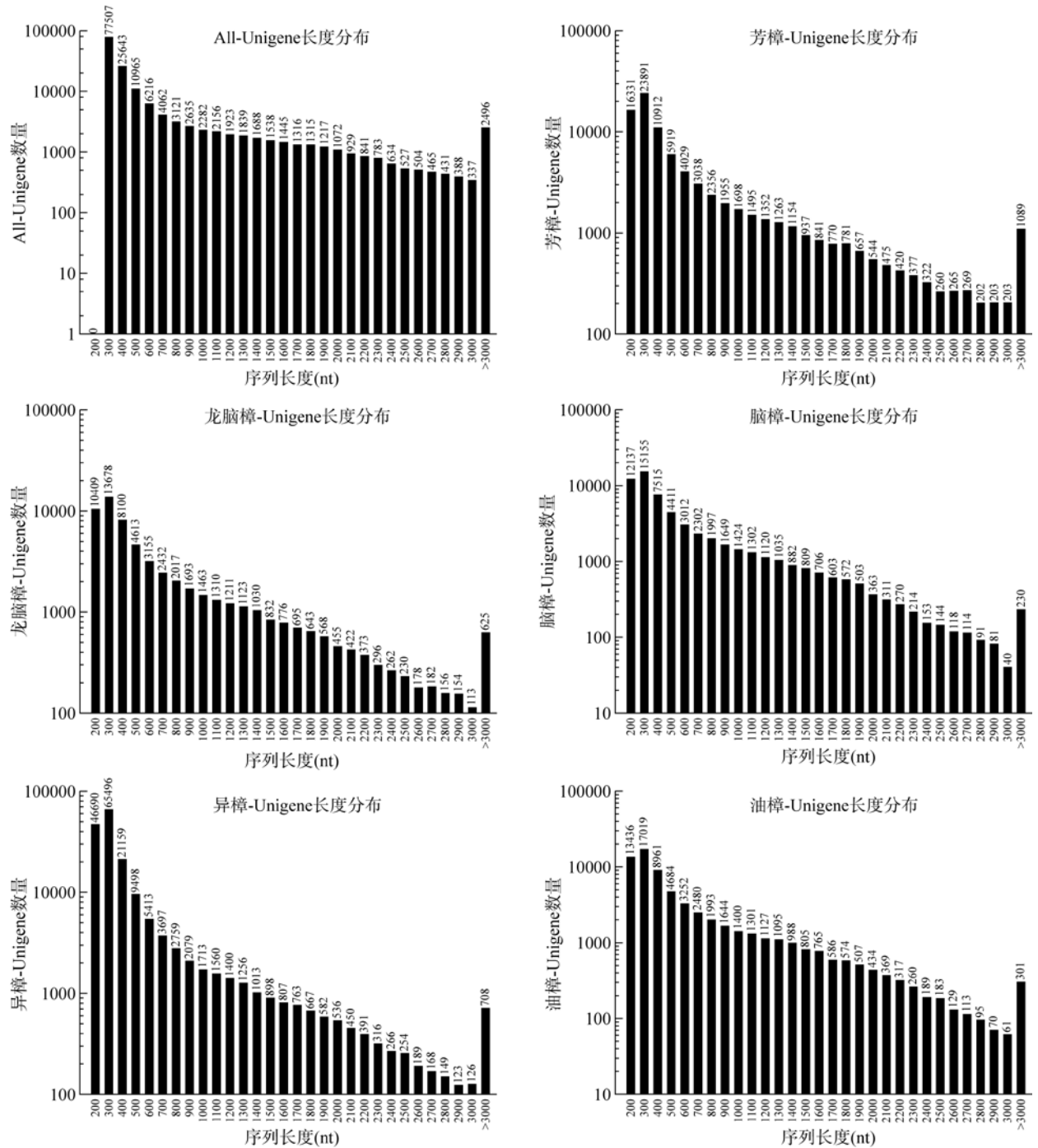


图 2 Unigene 的长度分布统计图  
横坐标是组装出来的 Unigene 的长度, 纵坐标是对应长度的 Unigene 数目。

进程、功能和代谢提供了重要依据。

2.6 Unigene 的编码蛋白框(CDS)预测

将 Unigene 序列按 Nr、SwissProt、KEGG 和 COG 数据库的优先级顺序分别做 BlastX 比对( $E$  值 $<1e-5$ ), 确定该 Unigene 的编码区序列, 然后根据标准密码

子表将编码区序列翻译成氨基酸序列, 从而得到该 Unigene 编码区的核酸序列(序列方向 5'→3')和氨基酸序列。最后, 跟以上 4 个数据库皆比对不上的 Unigene 用 ESTscan 软件预测其编码区, 得到其编码区核酸序列(序列方向为 5'→3')和氨基酸序列。图 5 分别显示 All-Unigene 与数据库 Blast 的 CDS 核酸和

表 3 Unigene 注释结果统计表

数据库	注释基因数	占注释基因 百分数(%)	占 All-Unigene 百分数(%)
Nr	55 257	98.75	35.36
SwissProt	36 070	64.46	23.08
KEGG	32 885	58.77	21.04
COG	21 806	38.97	13.95
GO	24 717	44.17	15.82
总计	55 955		35.80

注：总计是指所有得到注释的基因，计 55 955 个(包括 ESTscan 软件预测的基因)。

氨基酸序列分布, ESTscan 预测编码区的核酸和氨基酸序列的长度分布。

## 2.7 樟树芳樟醇合酶基因在不同化学类型中的表达模式分析

樟树 5 种化学类型精油的主要成分为萜类物质, 且多数为单萜和倍半萜类。在 Pathway 单萜合成的代谢通路中, 找到 9 条 Unigene 可能编码樟树芳樟醇合成途径的关键酶芳樟醇合酶基因, 它们在 5 种化学类型中的表达水平(Reads Per kb per Million reads, RPKM 值)见表 5。表 5 显示, 芳樟醇合酶基因在芳樟中优势表达, 而在油樟中表达水平较低。这些 Unigene 的注释信息将进一步克隆功能基因的全长、研究其功能提供基础数据, 也为樟树精油的代谢调控研究奠定了基础。

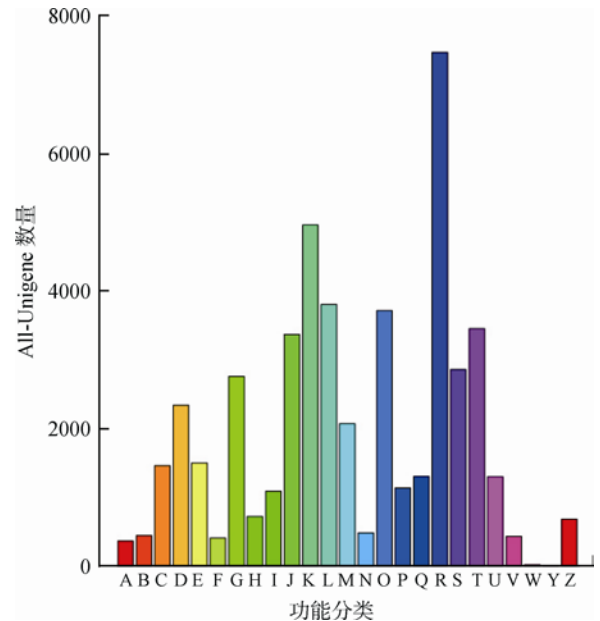


图 3 Unigene 的 COG 分类图

A: RNA 加工和修饰; B: 染色体结构和动力学; C: 能源产生与转化; D: 细胞周期调控, 细胞分裂, 染色体分离; E: 氨基酸转运和代谢; F: 核酸转运和代谢; G: 碳水化合物转运和代谢; H: 辅酶转运和代谢; I: 脂类转运和代谢; J: 翻译; 核糖体结构和生物发生; K: 转录; L: 复制, 重组和修饰; M: 细胞壁/细胞膜生物发生; N: 细胞活性; O: 翻译后修饰, 蛋白翻转, 伴侣; P: 无机离子转运和代谢; Q: 次生代谢物生物合成, 转运和代谢; R: 只有一般功能预测; S: 未知功能; T: 信号传递机制; U: 细胞间运输, 分泌物和囊泡运动; V: 防御机制; W: 细胞外结构; Y: 核结构; Z: 细胞骨架。

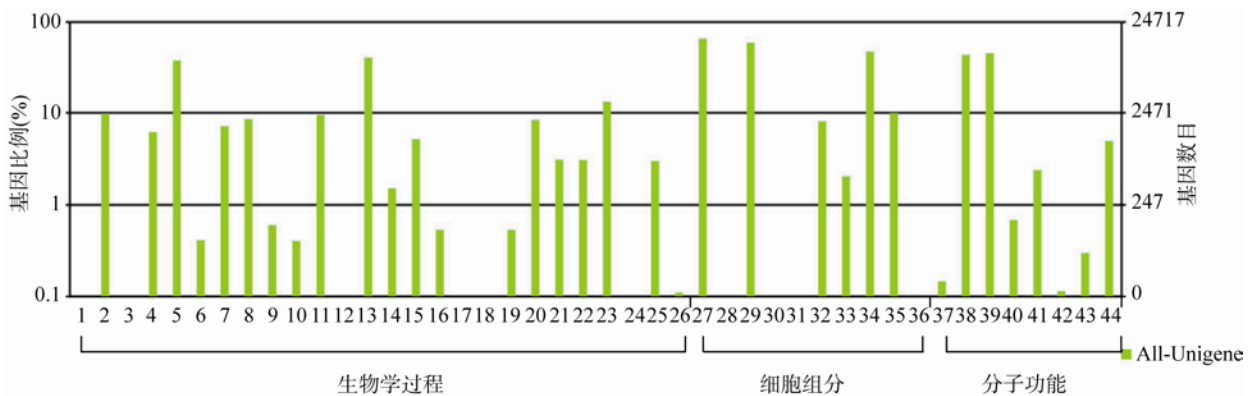


图 4 Unigene 的 GO 分类图

1: 生物附着; 2: 生物调控; 3: 细胞杀伤; 4: 细胞成分生物合成; 5: 细胞过程; 6: 凋亡; 7: 发育过程; 8: 定位系统建立; 9: 生长; 10: 免疫系统过程; 11: 定位; 12: 移动; 13: 代谢过程; 14: 多机体过程; 15: 多细胞组织过程; 16: 生物过程的负调控; 17: 氮素利用; 18: 色素沉着; 19: 生物过程的正调控; 20: 生物过程调控; 21: 再生; 22: 再生过程; 23: 刺激应答; 24: 律动过程; 25: 信号; 26: 病毒扩增; 27: 细胞; 28: 细胞连接; 29: 细胞要素; 30: 细胞间区域; 31: 细胞间区域要素; 32: 大分子复合物; 33: 膜结合腔体; 34: 细胞器; 35: 细胞器要素; 36: 共质体; 37: 抗氧化剂; 38: 结合活性; 39: 催化活性; 40: 酶调控因子; 41: 分子传感器; 42: 蛋白结合转录因子; 43: 受体活性; 44: 转运因子。

表 4 KEGG pathway 注释结果统计表

途径	注释基因 (32885)	占总基因数 的比例(%)	代谢通路 ID
1 代谢途径	7808	23.74	ko01100
2 次生代谢生物合成	3350	10.19	ko01110
3 植物病原互作	2501	7.61	ko04626
4 植物激素信号转导	2115	6.43	ko04075
5 内吞作用	1916	5.83	ko04144
6 甘油磷脂代谢	1726	5.25	ko00564
7 醚脂代谢	1518	4.62	ko00565
8 剪接	1484	4.51	ko03040
9 RNA 转运	1466	4.46	ko03013
10 嘌呤代谢	1341	4.08	ko00230
11 核糖体	1275	3.88	ko03010
12 内质网蛋白加工	1024	3.11	ko04141
13 真核细胞核糖体生物合成	970	2.95	ko03008
14 mRNA 监控途径	908	2.76	ko03015
15 RNA 降解	888	2.7	ko03018
16 嘧啶代谢	682	2.07	ko00240
17 淀粉和蔗糖代谢	609	1.85	ko00500
18 泛素介导的蛋白水解作用	604	1.84	ko04120
19 苯丙生物合成	568	1.73	ko00940
20 氧化磷酸化	548	1.67	ko00190
21 糖酵解/糖原异生	506	1.54	ko00010
22 吞噬体	419	1.27	ko04145
23 RNA 聚合酶	411	1.25	ko03020
24 氨基糖和核苷酸糖代谢	398	1.21	ko00520
25 二苯乙烯类, 二芳基庚类化合物和姜酚的生物合成	358	1.09	ko00945
26 过氧化物酶	339	1.03	ko04146
27 黄酮类化合物的生物合成	338	1.03	ko00941

3 讨论

转录组是功能基因组研究的一个重要功能指标<sup>[29]</sup>。本研究首次采用Illumina高通量测序技术对樟树 5 种化学类型叶片转录组进行测序, 共拼接得到 156 278 条Unigene。其中, 未获得鉴定的新Unigene

100 323 条, 占总数的 64.20%, 为进一步挖掘并鉴定新的功能基因提供了丰富的数据信息。本研究测序所得到的Unigene序列平均长度 584 bp, N50 为 1 023 bp, 完全满足转录组测序的要求。传统的基因表达序列标签(Expressed sequence tags, ESTs)技术被认为是一种研究转录组的有效方法, 广泛应用于新基因发现、基因表达分析和蛋白质组学。基因芯片(Gene chip)技术也广泛用于大量核酸分子的检测分析, 为研究不同层次多基因协同作用提供手段。与EST 技术及基因芯片技术相比, 基于Illumina HiSeq™ 2000 高通量测序对转录组进行比较和分析, 所需的RNA 量较少, 背景噪音比基因芯片低, 绘制转录组遗传图谱所需的费用更低。该平台可同时用于有(无)参考基因组的转录组测序, 通过短序列组装软件Trinity 获得的信息量完全可满足研究需求。

木本植物由于多数为异交物种, 杂合性较强, 基因组相对较大且较为复杂, 从而导致遗传背景研究相对滞后。而对于遗传背景不清晰的木本植物, 可先采用高通量测序技术进行转录组测序, 以获得的大量Unigene信息构建遗传和物理图谱, 为待测序的物种提供遗传背景信息<sup>[31]</sup>。林萍等<sup>[27]</sup>曾采用Illumina的Solexa技术对普通油茶种子 4 个发育时期的转录组进行测序, 经组装分析获得 80 310 条Unigene, 其中确定编码蛋白功能的有 21 789 条, 占All-Unigene 的 27.13%。本研究中, Unigene注释结果显示共有 55 955 条Unigene获得了基因注释, 占 All-Unigene的 35.80%, 略高于油茶转录组的注释, 但是相对于草本植物来说注释结果偏低, 表明现有数据库中, 樟科植物基因注释信息量极为缺乏。樟树作为樟科植物的代表树种, 其转录组测序及相关注释具有极为重要的意义, 将为樟科其他物种提供注释信息参考。高通量测序技术可以大规模的对生物体组织样本进行测序分析, 有利于建立特定时空条件下的物质代谢途径<sup>[29]</sup>。Sun等<sup>[19]</sup>对西洋参(*Panax quinquefolius* L.)转录组进行测序, KEGG分析确定有 4 097 条序列被定位到特定的代谢途径中, 并且初步确定了从acetyl CoA开始经过类异戊二烯途径的所有参与人参皂苷骨架合成的酶。此外, 东北红豆杉(*Taxus cuspidata* Sieb. et Zucc.)中的紫杉醇<sup>[32]</sup>、蛇足石杉(*Huperzia serrata* (Thunb. ex Murray)



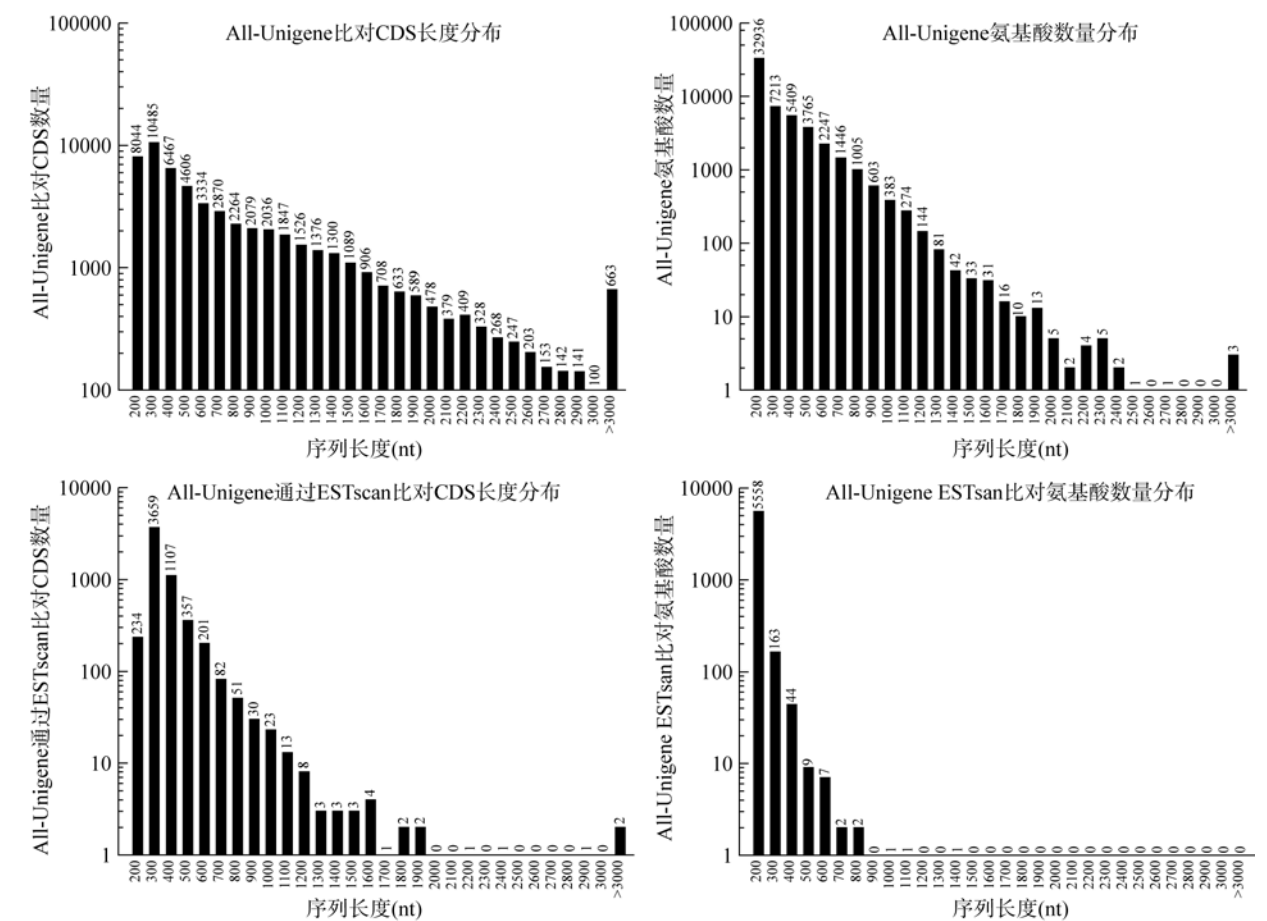


图 5 CDS 的长度分布统计图  
横坐标是组装出来的长度，纵坐标是对应长度的数目。

表 5 编码芳樟醇合酶的 Unigene 注释结果统计表

代谢产物	关键酶	基因 ID	Nr 注释	RPKM 值				
				芳樟	异樟	油樟	脑樟	龙脑樟
芳樟醇 (+)-Linalool (K15086)	芳樟醇合成酶 (EC 4.2.3.25)	CL26604.Contig1_All	倍半萜合酶[东非假樟]	68.8799	0.1916	3.2022	0.8192	0.6575
		CL28220.Contig1_All	(3S)-芳樟醇/(E)-橙花叔醇合酶[葡萄]	47.6043	19.2752	2.876	3.1214	42.6131
		CL3052.Contig1_All	(3S)-芳樟醇/(E)-橙花叔醇合酶[葡萄]	0.0195	0.3904	0.453	0.9293	16.8051
		CL3052.Contig2_All	(3S)-芳樟醇/(E)-橙花叔醇合酶[葡萄]	4.0307	33.2952	2.3354	2.321	15.7181
		CL35019.Contig1_All	倍半萜合酶[东非假樟]	16.9722	0	0	10.1709	0.4976
		CL354.Contig1_All	(E)-β-石竹烯合酶[葡萄]	95.0975	0.0774	4.5622	2.8875	6.0409
		CL37353.Contig1_All	香叶醇合酶[细毛樟]	0	2.6996	1.6388	0	0
		CL4171.Contig1_All	(3S)-芳樟醇/(E)-橙花叔醇合酶[葡萄]	0.6828	0.1141	0.5826	0.3991	5.3825
		CL4171.Contig2_All	(3S)-芳樟醇/(E)-橙花叔醇合酶[葡萄]	4.3721	3.0287	1.2235	0.2516	5.4338

Trev.)和龙骨马尾杉(*Phlegmariurus carinatus* (Desv. ex Poir.) Ching.)中的石松生物碱<sup>[33]</sup>等物质也通过高通量测序进一步确定其次生代谢途径。樟树Unigene的GO分类结果显示了樟树5种化学类型叶基因表达的总体情况，共有24 717条Unigene得到GO注释，在44个小类别中，归入“细胞”和“细胞器”类别的分

别为 16 006(14.52%)和 11 547(10.48%)条Unigene, 说明有较多的基因与细胞和细胞器中的生物代谢相关。KEGG pathways分析结果表明, 共有 3 350(10.19%)条基因注释到次生代谢生物合成途径, 其中, 参与萜类代谢的Unigene共 424 条。在此基础上进行芳樟醇合成途径分析, 结果显示芳樟醇合酶基因在芳樟中优势表达, 而在油樟中表达水平较低, 这一结果与樟树 5 种化学型中芳樟醇的含量高低相一致<sup>[2]</sup>。这些有代表性的注释为研究樟树次生代谢过程、脂肪酸合成途径及其他特殊生物学进程提供了重要依据。

## 参考文献

- [1] 戴宝合. 野生植物资源学. 北京: 农业出版社, 1993. [\[DOI\]](#)
- [2] 石皖阳, 何伟, 文光裕, 郭德选, 龙光远, 刘银苟. 樟精油成分和类型划分. 植物学报, 1989, 31(3): 209–214. [\[DOI\]](#)
- [3] 彭东辉. 樟树优良单株选择与组培研究[学位论文]. 福建农林大学, 2004. [\[DOI\]](#)
- [4] Lee HJ, Hyuna EA, Yoon WJ, Kim BH, Rhee MH, Kang HK, Cho JY, Yoo ES. *In vitro* anti-inflammatory and anti-oxidative effects of *Cinnamomum camphora* extracts. *J Ethnopharmacol*, 2006, 103(2): 208–216. [\[DOI\]](#)
- [5] Liu CH, Mishra AK, Tan RX, Tang C, Yang H, Shen YF. Repellent and insecticidal activities of essential oils from *Artemisia princeps* and *Cinnamomum camphora* and their effect on seed germination of wheat and broad bean. *Bioresour Technol*, 2006, 97(15): 1969–1973. [\[DOI\]](#)
- [6] Yang T, Li J, Wang HX, Zeng Y. A geraniol-synthase gene from *Cinnamomum tenuipilum*. *Phytochemistry*, 2005, 66(3): 285–293. [\[DOI\]](#)
- [7] 陈美兰. 药用植物樟化学型形成机理的基础研究[学位论文]. 中国中医科学院, 2007. [\[DOI\]](#)
- [8] Zhang GJ, Guo GW, Hu XD, Zhang Y, Li QY, Li RQ, Zhang RH, Lu ZK, He ZQ, Fang XD, Chen L, Tian W, Tao Y, Kristiansen K, Zhang XQ, Li SG, Yang HM, Wang J. Deep RNA sequencing at single base-pair resolution reveals high complexity of the rice transcriptome. *Genome Res*, 2010, 20(5): 646–654. [\[DOI\]](#)
- [9] Wu J, Zhang YL, Zhang HQ, Huang H, Foltá KM, Lu J. Whole genome wide expression profiles of *Vitis amurens* grape responding to downy mildew by using Solexa sequencing technology. *BMC Plant Biol*, 2010, 10: 234. [\[DOI\]](#)
- [10] Guo SG, Zheng Y, Joung JG, Liu SQ, Zhang ZH, Crasta OR, Sobral BW, Xu Y, Huang SW, Fei ZJ. Transcriptome sequencing and comparative analysis of cucumber flowers with different sex types. *BMC Genomics*, 2010, 11: 384. [\[DOI\]](#)
- [11] Graham IA, Besser K, Blumer S, Branigan CA, Czechowski T, Elias L, Guterma I, Harvey D, Isaac PG, Khan AM, Larson TR, Li Y, Pawson T, Penfield T, Rae AM, Rathbone DA, Reid S, Ross J, Swallowood MF, Segura V, Townsend T, Vyas D, Winzer T, Bowles D. The genetic map of *Artemisia annua* L. identifies loci affecting yield of the antimalarial drug artemisinin. *Science*, 2010, 327(5963): 328–331. [\[DOI\]](#)
- [12] Chen S, Luo H, Li Y, Sun Y, Wu Q, Niu Y, Song J, Lv A, Zhu Y, Sun C, Steinmetz A, Qian Z. 454 EST analysis detects genes putatively involved in ginsenoside biosynthesis in *Panax ginseng*. *Plant Cell Rep*, 2011, 30(9): 1593–1601. [\[DOI\]](#)
- [13] Hao DC, Ge GB, Xiao PG, Zhang YY, Yang L. The first insight into the tissue specific *Taxus* transcriptome via Illumina second generation sequencing. *PLoS ONE*, 2011, 6(6): e21220. [\[DOI\]](#)
- [14] Tang Q, Ma XJ, Mo CM, Wilson IW, Song C, Zhao H, Yang YF, Fu W, Qiu DY. An efficient approach to finding *Siraitia grosvenorii* triterpene biosynthetic genes by RNA-seq and digital gene expression analysis. *BMC Genomics*, 2011, 12(1): 343. [\[DOI\]](#)
- [15] Wilhelm BT, Landry JR. RNA-Seq quantitative measurement of expression through massively parallel RNA Sequencing. *Methods*, 2009, 48(3): 249–257. [\[DOI\]](#)
- [16] Zenoni S, Ferrarini A, Giacomelli E, Xumerle L, Fasoli M, Malerba G, Bellin D, Pezzotti M, Delledonne M. Characterization of transcriptional complexity during berry development in *Vitis vinifera* using RNA-Seq. *Plant Physiol*, 2010, 152(4): 1787–1795. [\[DOI\]](#)
- [17] Wang ZY, Fang BP, Chen JY, Zhang XJ, Luo ZX, Huang LF, Chen XL, Li YJ. *De novo* assembly and characterization of root transcriptome using Illumina paired-end sequencing and development of cSSR markers in sweetpotato (*Ipomoea batatas*). *BMC Genomics*, 2010, 11(1): 726. [\[DOI\]](#)
- [18] 李滢, 孙超, 罗红梅, 李西文, 牛云云, 陈士林. 基于高通量测序 454 GS FLX 的丹参转录组学研究. 药学报, 2010, 45(4): 524–529. [\[DOI\]](#)
- [19] Sun C, Li Y, Wu Q, Luo HM, Sun YZ, Song JY, Lui E MK, Chen SL. *De novo* sequencing and analysis of the American ginseng root transcriptome using a GS FLX Titanium

- platform to discover putative genes involved in ginsenoside biosynthesis. *BMC Genomics*, 2010, 11(1): 262. [\[DOI\]](#)
- [20] Logacheva MD, Kasianov AS, Vinogradov DV, Samigullin TH, Gelfand MS, Makeev VJ, Penin AA. *De novo* sequencing and characterization of floral transcriptome in two species of buckwheat (*Fagopyrum*). *BMC Genomics*, 2011, 12(1): 30. [\[DOI\]](#)
- [21] Francis RW, Thompson-Wicking K, Carter KW, Anderson D, Kees UR, Beesley AH. FusionFinder: A software tool to identify expressed gene fusion candidates from RNA-Seq data. *PLoS ONE*, 2012, 7(6): e39987. [\[DOI\]](#)
- [22] Li PH, Ponnala L, Gandotra N, Wang L, Si YQ, Tausta SL, Kebrom TH, Provart N, Patel R, Myers CR, Reidel EJ, Turgeon R, Liu P, Sun Q, Nelson T, Brutnell TP. The developmental dynamics of the maize leaf transcriptome. *Nat Genet*, 2010, 42(12): 1060–1067. [\[DOI\]](#)
- [23] Grabherr MG, Haas BJ, Yassour M, Levin JZ, Thompson DA, Amit I, Adiconis X, Fan L, Raychowdhury R, Zeng Q, Chen Z, Mauceli E, Hacohen N, Gnirke A, Rhind N, Palma F, Birren BW, Nusbaum C, Lindblad-Toh K, Friedman N, Regev A. Full-length transcriptome assembly from RNA-Seq data without a reference genome. *Nat Biotechnol*, 2011, 29(7): 644–652. [\[DOI\]](#)
- [24] Conesa A, Götz S, García-Gómez JM, Terol J, Talón M, Robles M. Blast2GO: a universal tool for annotation, visualization and analysis in functional genomics research. *Bioinformatics*, 2005, 21(18): 3674–3676. [\[DOI\]](#)
- [25] Ye J, Fang L, Zheng HK, Zhang Y, Chen J, Zhang ZG, Wang J, Li ST, Li RQ, Bolund L, Wang J. WEGO: a web tool for plotting GO annotations. *Nucleic Acids Res*, 2006, 34(1): W293–297. [\[DOI\]](#)
- [26] 林萍, 曹永庆, 姚小华, 王开良, 滕建华. 普通油茶种子 4 个发育时期的转录组分析. 分子植物育种, 2011, 9(4): 498–505. [\[DOI\]](#)
- [27] Iseli C, Jongeneel CV, Bucher P. ESTScan: a program for detecting, evaluating, and reconstructing potential coding regions in EST sequences. *Proc Int Conf Intell Syst Mol Biol*, 1999, 138–148. [\[DOI\]](#)
- [28] Kanehisa M, Goto S, Kawashima S, Okuno Y, Hattori M. The KEGG resource for deciphering the genome. *Nucleic Acids Res*, 2004, 32(1): D277–D280. [\[DOI\]](#)
- [29] 梁烨, 陈双燕, 刘公社. 新一代测序技术在植物转录组研究中的应用. 遗传, 2011, 33(12): 1317–1326. [\[DOI\]](#)
- [30] 施季森, 王占军, 陈金慧. 木本植物全基因组测序研究进展. 遗传, 2012, 34(2): 145–156. [\[DOI\]](#)
- [31] Li X, Chen GH, Zhang WY, Zhang X. Genome-wide transcriptional analysis of maize endosperm in response to *ae wx* double mutations. *J Genet Genomics*, 2010, 37(11): 749–762. [\[DOI\]](#)
- [32] Wu Q, Sun C, Luo H, Li Y, Niu Y, Sun Y, Lu A, Chen S. Transcriptome analysis of *Taxus cuspidata* needles based on 454 pyrosequencing. *Planta Med*, 2010, 77(4): 394–400. [\[DOI\]](#)
- [33] Luo HM, Li Y, Sun C, Wu Q, Song JY, Sun YZ, Steinmetz A, Chen SL. Comparison of 454-ESTs from *Huperzia serrata* and *Phlegmariurus carinatus* reveals putative genes involved in lycopodium alkaloid biosynthesis and developmental regulation. *BMC Plant Biol*, 2010, 10(1): 209. [\[DOI\]](#)

## • 综合信息 •

# JGG 和《遗传》再次分别荣获“中国最具国际影响力学术期刊”和“中国国际影响力优秀学术期刊”称号

基于《中国学术期刊国际引证年报(2013 版)》, 2013 年 12 月 30 日出版的《中国新闻出版报》及“中国知网”首页上正式发布了“2013 中国最具国际影响力学术期刊”和“2013 中国国际影响力优秀学术期刊”名单。Journal of Genetics and Genomics (JGG) 获得“2013 中国最具国际影响力学术期刊”称号, 《遗传》获得“2013 中国国际影响力优秀学术期刊”称号。借此机会, 对所有关心和支持两刊发展的各级领导、编委、审者、作者与读者表示衷心的感谢!